



## การเปรียบเทียบการกัดกร่อนของรอยต่อเกย์ระหว่างอลูมิเนียมผสม AA 1100

และเหล็กกล้าคาร์บอน AISI 1015 ในน้ำทะเล

**Corrosion Comparison of AA1100 Aluminum Alloy and AISI1015 Carbon steel**

**Lap Joint in Thai Marine**

สุรัตน์ ตรัยวนพงษ์<sup>\*</sup> ศักดิ์ชัย จันทร์<sup>2</sup> สมชาย วนไถ夷สง<sup>3</sup> กิตติพงษ์ กิมพงษ์<sup>4</sup>

<sup>1,2,4</sup> ภาควิชาวิศวกรรมอุตสาหการ คณะวิศวกรรมศาสตร์ มหาวิทยาลัยเทคโนโลยีราชมงคลธัญบุรี

สำหรับชื่อเรื่องนี้ รหัสไปรษณีย์ 12110

<sup>3</sup> สาขาวิชาวิศวกรรมอุตสาหการ คณะวิศวกรรมศาสตร์ มหาวิทยาลัยธัญบุรี

29 เพชรเกษม 110 แขวงหนองค้างพลู เขตหนองแขม กรุงเทพฯ รหัสไปรษณีย์ 10160

E-mail: suratt@hotmail.com\*

### บทคัดย่อ

การศึกษาการกัดกร่อนของรอยต่อเกย์ระหว่างอลูมิเนียมผสม AA 1100 และเหล็กกล้าคาร์บอน AISI 1015 ในแหล่งน้ำทะเลไทย ได้แก่ น้ำทะเลเพ่งญากือ น้ำทะเลเพ่งอุตสาหกรรมมหาดูพุ น้ำทะเลเพ่งอุตสาหกรรมแหลมฉบัง และน้ำทะเลเอราวัณ โดยทำการทดสอบการกัดกร่อนแบบรุ่ม ลงในน้ำทะเลแต่ละแห่งและได้ทำ การควบคุมตัวแปรอื่นๆ ตามมาตรฐาน ASTM และได้ทำการวิเคราะห์ผลเชิงลักษณะทางภาพ ผลการทดลองโดยสรุปมีดังนี้ เปอร์เซ็นต์น้ำหนักที่เพิ่มขึ้นตั้งแต่ระยะเวลา 30 วันของเหล็กและอลูมิเนียมมีค่ามากที่สุดมีค่าเท่ากัน 2.6180 และ 2.4098 ตามลำดับ จากการทดสอบที่น้ำทะเลเพ่งญากือ สำหรับเปอร์เซ็นต์น้ำหนักที่สูญเสียของเหล็กและอลูมิเนียมมีค่ามากที่สุดจากการทดสอบที่น้ำทะเลเพ่งญากือมีค่าเท่ากัน 4.4395 และ 10.146 ตามลำดับ และในที่น้ำหนักที่เพิ่มขึ้นจากออกไซด์ที่เกิดบนผิวของวัสดุทดสอบมีผลทำให้เกิดการสูญเสียน้ำหนักของวัสดุทั้งสองชนิดเข่นเดียวกัน คำหลัก น้ำหนักที่เพิ่มขึ้น, น้ำหนักที่สูญเสีย, อลูมิเนียม, เหล็กกล้าคาร์บอน

### 1. บทนำ

ในอุตสาหกรรมการผลิตรอยต่อ รอยต่อเกย์นับเป็นรอยต่อที่มีความสำคัญมาก บริมาณการใช้งานในอุตสาหกรรมการผลิตรอยต่อที่มีปริมาณมากกว่าร้อยละ 60 เมื่อเปรียบเทียบกับรอยต่อชนิดอื่นๆ เช่น รอยต่อชน [1] รอยต่อเกย์ในโครงสร้างรอยต่อจากประกอบไปด้วยรอยต่อเกย์ของวัสดุชนิดเดียวกัน เช่น รอยต่อเกย์ของเหล็กกล้าคาร์บอนต่อชิ้นเป็นวัสดุหลักในการผลิตโครงสร้างตัวถังรอยต่อ หรือรอยต่อวัสดุต่างชนิดกันซึ่งเป็นรอยต่อที่มีการใช้งานอย่างแพร่หลายในปัจุบัน เนื่องจากการอยู่ต้องของวัสดุต่างชนิดทำให้เกิดโครงสร้างที่มีความมีดใหญ่ และสามารถนำเข้าออกได้ของวัสดุแต่ละชนิดมาใช้งานได้กว้าง ขวางมากขึ้น [2] นอกจากนั้นหากพิจารณาปัญหาการใช้พลังงานในอุตสาหกรรมผลิตรอยต่อใน

ปัจุบันได้มีการนำเอาอลูมิเนียมเข้ามาใช้งานแทนที่ชิ้นส่วนเหล็กในโครงสร้างรอยต่อ เพื่อลดน้ำหนักของรอยต่อและจะส่งผลต่อการใช้เชื้อเพลิงอย่างประหยัดและมีประสิทธิภาพ ด้วยเหตุนี้จึงทำให้รอยต่อของอลูมิเนียมและเหล็กมีความสำคัญในการใช้งานเพิ่มมากขึ้น [3]

ในการนำรอยต่อของวัสดุชนิดเดียวกันหรือต่างชนิดไปใช้งานในสภาวะบรรยายต่างๆ เช่น สารละลายของ海水 น้ำธรรมชาติ ความชื้นในอากาศ ฝน หรือ สารละลายที่ส้วงชื้น ล้วนแล้วแต่เป็นสิ่งแวดล้อมที่ทำให้เกิดปัญหาการกัดกร่อน [4] เนื่องจากสภาวะเหล่านี้เป็นสิ่งแวดล้อมที่มีความสามารถในการนำอิオンสูง และเป็นตัวแปรสำคัญที่ทำให้เกิดความต่างศักย์ของข้าไฟฟ้าและความเป็นกรดของสารละลาย จากข้อมูลดังกล่าว แม้แล้ว คงจะผู้วิจัยที่มีแนวคิดในการศึกษาพัฒนาระบบการกัดกร่อนของรอยต่อเกย์ระหว่างอลูมิเนียมและเหล็กกล้าเมื่ออยู่ในสภาวะน้ำทะเลจากแหล่งต่างๆ ของประเทศไทย เพื่อทำการศึกษาและจัดเตรียมข้อมูลที่มีประโยชน์สำหรับการน้อมถั่นการกัดกร่อน ชิ้นส่วนต่างๆ ในอุตสาหกรรมการผลิตรอยต่อไป โดยงานวิจัยนี้จุดประสงค์เพื่อ ศึกษาอัตราการกัดกร่อนภายในรอยต่อเกย์ระหว่างอลูมิเนียมและเหล็กกล้าคาร์บอนในน้ำทะเลแหล่งต่างๆ ในภาคตะวันออกและภาคใต้ของประเทศไทยและศึกษากลไกการกัดกร่อนในรอยต่อเกย์ระหว่างอลูมิเนียมและเหล็กกล้าคาร์บอน

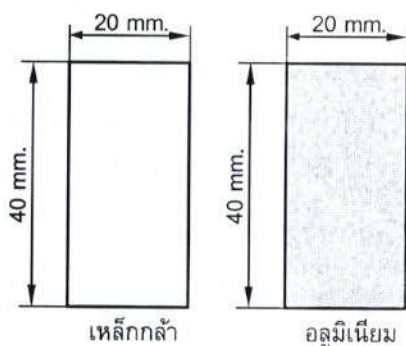
### 2. วิธีการทดลอง

วัสดุที่ใช้ในการทดลองคือ แผ่นอลูมิเนียมผสม AA1100 และแผ่นเหล็กกล้าคาร์บอน AISI 1015 วัสดุทั้งสองชนิดมีขนาดความกว้าง 20 มม. ยาว 40 มม. และหนา 1 มม. แผ่นวัสดุทดสอบทั้งสองถูกประกอบเป็นลักษณะรอยต่อเกย์โดยระยะบิวเว่นผิวสัมผัสของรอยต่อเกย์ 20 มม. ดังแสดงในรูปที่ 1(ก) และ (ข)

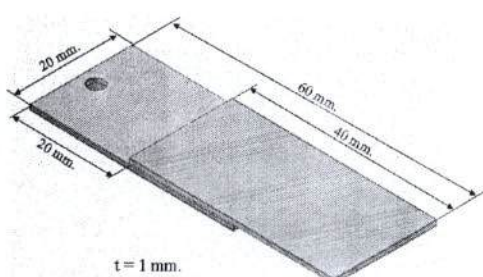
นำชิ้นงานทดสอบที่ได้ไปทำการขัดด้วยกระดาษทรายเบอร์ 600 เพื่อกำจัดคราบอิออกไซด์ที่ผิวของวัสดุทั้งสองและนำไปทำความสะอาดโดยมาตรฐาน ASTM-G1-88 [5] ก่อนนำไปในชุดทดสอบ



การกัดกร่อนแบบจุ่ม (Immersion Corrosion Testing) ที่สร้างขึ้น ข้างต้นตามมาตรฐาน ASTM G31-72 [6] ดังรูปที่ 2 โดยทำการ ออกแบบและสร้างชุดทดสอบอัตราการกัดกร่อนให้มีลักษณะที่ เมื่อนำกับมาตรฐาน ASTM G31-72 เพื่อให้เกิดความเหมาะสมกับ งานวิจัยนี้ ซึ่งได้ชุดทดสอบอัตราการกัดกร่อนโดยทำการติดตั้ง อุปกรณ์การทดสอบต่างๆ ให้อยู่ในตำแหน่งที่เหมาะสม และทำการ ต่อเกย์ชิ้นงานทดสอบหนึ่งด้วยคลิบพลาสติกเพื่อความสะดวกต่อ การแกะตรวจสอบภายในรอยต่อเกย์ของชิ้นงาน ใช้จำนวนชิ้นงาน ทดสอบ 41 ชิ้น/น้ำทดสอบ จากนั้นทำการจุ่มน้ำลงไปในชุด ทดสอบแล้วทำการควบคุมอุณหภูมิที่ 40 องศาเซลเซียส และเพิ่ม อุกซิเจนจากเครื่องอัดลมขนาดเล็ก ปิดฝาตู้ให้มีดีชิด ดังแสดงใน รูปที่ 3 ปล่อยทิ้งไว้แล้วทำการเก็บชิ้นงานทดสอบทุกๆ 3 วัน เป็น เวลา 1 เดือน/น้ำทดสอบ น้ำจะเลื่อนตัวไปในการทดสอบได้แก่ น้ำที่เปลี่ยนสี น้ำที่เปลี่ยนอุตสาหกรรมมาบตาพุฒ น้ำที่เปลี่ยน อุตสาหกรรมแหลมฉบัง และน้ำที่เปลี่ยนอุปกรณ์ จากการ เก็บข้อมูลวิเคราะห์ลักษณะของออกไซซ์ที่เกิดขึ้นบนผิวของเหล็ก และอลูมิเนียมด้วยภาพถ่ายแบบดิจิตอล หาแนวโน้มเบอร์เซ็นต์ที่ เพิ่มขึ้นของน้ำหนักวัสดุทดสอบ หาแนวโน้มเบอร์เซ็นต์น้ำหนักที่ สูญเสีย เปรียบเทียบอัตราการกัดกร่อนระหว่างเหล็กและน้ำที่เปลี่ยนๆ และทำการตรวจสอบส่วนผสมทางเคมีด้วยกระบวนการ EDS ใน รายงานผลการทดลองต่อไป

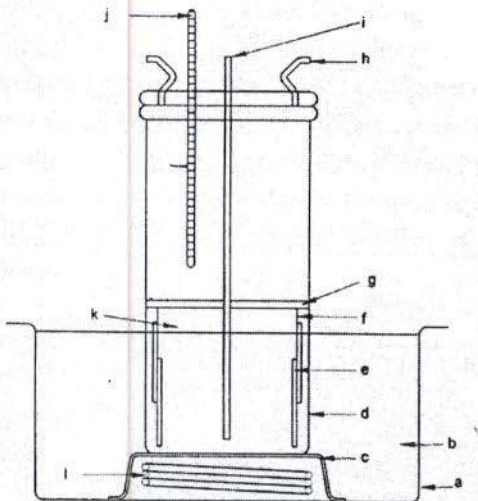


(ก) ขนาดของอลูมิเนียมและเหล็กกล้าคาร์บอน



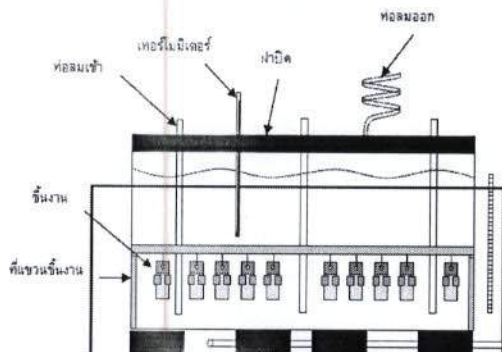
(ข) ลักษณะของต่อเกย์ของวัสดุทดสอบ

รูปที่ 1 วัสดุที่ใช้ในการทดสอบ



รูปที่ 2 ชุดทดสอบอัตราการกัดกร่อนตามมาตรฐาน ASTM

- (a) ถ่องให้ความร้อน (b) น้ำร้อน (c) ขารองตู้
- (d) ถูกทดสอบ (e) วัสดุตัวอย่าง (f) ตะขอแขวน
- (g) ที่เขียนชิ้นงาน (h) ท่อระบายน้ำออก
- (i) ท่อคอมเพรสเซอร์ (j) เทอร์มомิเตอร์ (k) น้ำทดสอบ และ (l) ขดลวดให้ความร้อน [4]



รูปที่ 3 ชุดทดสอบอัตราการกัดกร่อน

### 3. ผลการทดลองและวิเคราะห์ผล

#### 3.1 อิทธิพลของแหล่งน้ำที่มีผลต่อการเกิดออกไซด์บน ผิวชิ้นงานทดสอบ

การทดสอบการกัดกร่อนในน้ำที่เปลี่ยนสี น้ำที่เปลี่ยน อุตสาหกรรมมาบตาพุฒ น้ำที่เปลี่ยนอุตสาหกรรมแหลมฉบัง และน้ำที่เปลี่ยนอุปกรณ์ หลังการทดสอบพบว่า ผิวของเหล็กและอลูมิเนียมมี ลักษณะการเกิดออกไซด์ที่ไม่แตกต่างกันมากนัก ซึ่งเกิดจากการ ทำปฏิกิริยาที่ถูกควบคุมด้วยตัวแปรต่างๆ แสดงดังรูปที่ 4 ถึงรูปที่ 7 พบว่า ที่ผิวของแผ่นเหล็กมีลักษณะของออกไซด์สีแดงเทาใน ปริมาณที่มากน้อยขึ้นอยู่กับระยะเวลาในการจุ่มแช่(แสดงด้วยลูกศร)



เหล็กกล้าคาร์บอน			อลูมิเนียม		
C ↓	C ↓	C ↓	C ↓	E ↑	E ↑
1cm	1cm	1cm	1cm	1cm	1cm
3 วัน	15 วัน	30 วัน	3 วัน	15 วัน	30 วัน

รูปที่ 4 สักษณะผิวขั้นงานทดสอบในน้ำทะเลเมืองภูเก็ต

เหล็กกล้าคาร์บอน			อลูมิเนียม		
A ↓	B ↓	E →	C ←	B →	C ←
1cm	1cm	1cm	1cm	1cm	1cm
3 วัน	15 วัน	30 วัน	3 วัน	15 วัน	30 วัน

รูปที่ 5 สักษณะผิวขั้นงานทดสอบในน้ำทะเลเมืองอุดสาหกรรมมหาดไทย

เหล็กกล้าคาร์บอน			อลูมิเนียม		
C ↑	C ↑	E →	C →	C ←	C ←
1cm	1cm	1cm	1cm	1cm	1cm
3 วัน	15 วัน	30 วัน	3 วัน	15 วัน	30 วัน

รูปที่ 6 สักษณะผิวขั้นงานทดสอบในน้ำทะเลเมืองอุดสาหกรรมแหลมฉบัง

เหล็กกล้าคาร์บอน			อลูมิเนียม		
A ↓	A ↓	← E	C ↑	C ↑	C ↑
1cm	1cm	1cm	1cm	1cm	1cm
3 วัน	15 วัน	30 วัน	3 วัน	15 วัน	30 วัน

รูปที่ 7 จัดเรียงตัวอย่างทดสอบในน้ำทะเลเมืองอ่าวน้ำขาว



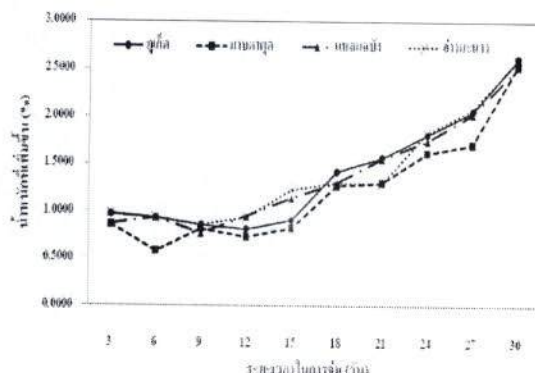
A) โดยเฉพาะ 3 วันแรก ออกไซซ์ที่สีแดงเทาในปริมาณที่มากจนเป็นภัยและนกและบริเวณขอรับต่อที่ผิวของเหล็ก และมีปริมาณเพิ่มขึ้นเรื่อยๆ จนถึงวันที่ 15 และวันที่ 30 ซึ่งเกิดขึ้นที่ผิวเหล็กจาก การทดสอบที่น้ำทะลุฟองภูมิที่มากกว่าน้ำทะลุเหล็กอ่อนๆ บริเวณพื้นผิวเหล็กที่ไม่เกิดออกไซด์จะเริ่มมีข้าวุ่นขึ้นเรื่อยๆ และมีเม็ดเกลือสีขาวเกาะอยู่ที่พื้นผิวของเหล็กตามระยะเวลาจุ่มแซ่บเพิ่มมากขึ้น ที่บริเวณขอบของรอยต่อระหว่างอลูมิเนียมมีก้อนเกลือเทาหรือกรุญตามออกไซด์เป็นปริมาณมาก (แสดงด้วยลูกครศ. B) ดังรูปที่ 5 ซึ่งงานทดสอบด้วยน้ำทะลุฟองภูมิที่มากตามมาตรฐาน ส่วนบริเวณภายในผิวสัมผัสของรอยต่อเกย์ พบรูรูปแผ่นฟิล์มสีขาวขุ่นเป็นด้วยความออกไซด์สีแดง (แสดงด้วยลูกครศ. C) กระหายอย่างไม่สม่ำเสมอทั่วบริเวณผิวสัมผัสพบรูรูปอย่างไม่ต่อเนื่องบนชิ้นงานทดสอบทั้งแผ่นเหล็กและอลูมิเนียมขึ้นอยู่กับลักษณะการกัดกร่อนภายในผิวรอยต่อของวัสดุที่ทางชิ้น (ด้วยลูกครศ. D) และถึงลักษณะที่เป็นหลุมดื้ืนๆ สีดำ ส่วนมากจะเกิดบริเวณขอบภายในผิวรอยต่อ เกิดเนื่องจากสูญเสียเนื้อของผิวน้ำหน้าแผ่นเหล็กไป เพราะเกิดการกัดกร่อนภายในผิวสัมผัสระหว่างอลูมิเนียมจึงส่งผลให้เกิดในบริเวณที่มากข่ายเข้ามาของลักษณะภายในผิวสัมผัส สังเกตได้จากชิ้นงานเก็บทุกๆ ระยะเวลาการทดสอบ ซึ่งบังพนว่ามีปริมาณน้อย และเพิ่มมากขึ้นในช่วงท้ายๆ ของระยะเวลาทดสอบ โดยเฉพาะวันที่ 30 ซึ่งทำให้พื้นผิวภายในรอยต่อของเหล็กเกิดความเรียบไม่สม่ำเสมอ ขึ้นอยู่กับลักษณะการกัดกร่อนภายในรอยต่อตามระยะเวลาในการจุ่มแซ่บชิ้นงานของทุกๆ แหล่งน้ำทะลุทดสอบที่ผิวอลูมิเนียม จากการทดสอบการกัดกร่อนในน้ำทะลุเท็งส์สีเหลือง พบรูรูปว่า ผิวอลูมิเนียมทั้งหมดมีสภาพมากและภายในรอยต่อเกย์มีลักษณะที่แตกต่างกันมาก ซึ่งผิวภายนอกนี้เป็นลักษณะเป็นแผ่นฟิล์มสีเทาเคลือบหัวทั้งหมดและปกคลุมอีกหนึ่งหัวคือรูรูปที่มีร่องรอยต่อของลักษณะภายในรอยต่อของอลูมิเนียมที่เป็นรูรูปสีขาวขนาดเล็กเท่าอยู่ที่บริเวณด้านหลัง (แสดงด้วยลูกครศ. B) และภายในรอยต่อเกย์เกิดแผ่นฟิล์มสีขาวไก่คลุกปูหัวที่พื้นผิวภายในที่บีบเงินของรอยต่อเกย์ระหว่างเหล็กที่เกิดขึ้นอยู่กับลักษณะการทดสอบ ซึ่งสังเกตได้จากชิ้นงานที่สีขาวขุ่นเป็นด้วยลักษณะภายในรอยต่อของอลูมิเนียม และมีปริมาณที่เพิ่มมากขึ้นตามระยะเวลาทดสอบ ซึ่งสังเกตได้จากค่าเบอร์เซ็นต์น้ำหนักที่เพิ่มขึ้นและมีค่าไม่คงที่ในวันที่ 6 และหลังจากนั้นเส้นกราฟมีแนวโน้มที่เพิ่มขึ้นเรื่อยๆ อย่างต่อเนื่องของทุกๆ แหล่งน้ำทะลุ โดยมีค่าเบอร์เซ็นต์น้ำหนักของอลูมิเนียมมากที่สุดในวันที่ 30 จากการทดสอบในแหล่งน้ำทะลุประมาณ 2.4098 รองลงมาคือ น้ำทะลุฟองภูมิที่สีขาวขุ่นเป็นด้วยลักษณะการกัดกร่อนที่มากและเริ่มเพิ่มมากขึ้นในช่วง 15 วันและ 30 วัน ที่แสดงไว้ด้วยหนอน้ำทึบเทา ดังรูปที่ 3 และรูปที่ 4 ตามลำดับ ส่วนน้ำทะลุของข้อพื้นที่ลักษณะจะมีลักษณะเป็นหลุมสีเทาส่วนมากพื้นที่บริเวณขอบภายในรอยต่อ (แสดงด้วยลูกครศ. E) เกิดจากการรูรูปซึ่งมีอัลูมิเนียมไป เมื่อจากเกิดการกัดกร่อนภายในรอยต่อเกย์ระหว่างเหล็ก จึงทำให้บริเวณแผ่นอลูมิเนียมบริเวณผิวสัมผัสมีร่องรอยรูรูปเป็นหลุมค้างเห็นได้ชัดเมื่อเทียบกับพื้นผิวบริเวณน้ำทะลุกรอยต่อภายใน ซึ่งมีผิวเรียบสม่ำเสมอต่อต่อพื้นผิวของชิ้นงานที่เป็นการทดสอบที่น้ำทะลุแหล่งต่างๆ

### 3.2 อิทธิพลของแหล่งน้ำทะลุที่มีผลต่อเบอร์เซ็นต์น้ำหนักที่เพิ่มขึ้นของชิ้นงานทดสอบ

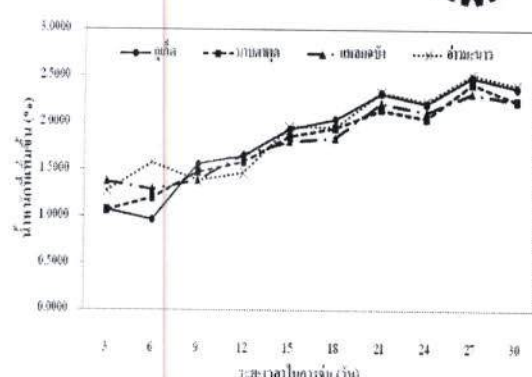
จากการทดสอบการกัดกร่อนของรอยต่อเกย์ระหว่างเหล็กกล้าคาร์บอนและอลูมิเนียม ในแหล่งน้ำทะลุต่างๆ พบรูรูปของออกไซด์ที่เกิดขึ้นบนชิ้นงานทดสอบทั้งสองชนิดหลังจากน้ำทึบงานชิ้นมาทำการกำจัดออกไซด์และหาอัตราการกัดกร่อน พบรูรูปน้ำหนักของเหล็กและอลูมิเนียมมีการเพิ่มขึ้นอย่างเห็นได้ชัด แสดงว่าออกไซด์ที่เกิดขึ้นมีผลต่อการเพิ่มขึ้นของน้ำหนักหลังทำการทดสอบ และดังกราฟรูปที่ 8 แสดงค่าเบอร์เซ็นต์น้ำหนักที่เพิ่มขึ้น เฉลี่ยของเหล็กกล้าคาร์บอนที่ระยะเวลาต่างๆ ในการจุ่มแซ่บ ซึ่งมีแนวโน้มที่สูงในวันที่ 3 เกิดเนื่องจากวัสดุทดสอบเกิดปฏิกิริยา กับน้ำทะลุได้อย่างรวดเร็วจึงทำให้เกิดออกไซด์ที่ผิวของเหล็กเป็นปริมาณมากและคงที่ในวันที่ 15 จากนั้นเริ่มมีแนวโน้มที่เพิ่มมากขึ้นเรื่อยๆ จนถึงวันที่ 30 มีค่าเบอร์เซ็นต์การเพิ่มขึ้นของน้ำหนักเหล็กจาก การทดสอบในน้ำทะลุฟองภูมิที่สีขาว ที่สูงกว่า ที่แหล่งน้ำทะลุฟองภูมิที่สีขาวและแหล่งน้ำทะลุฟองภูมิที่สีขาวขุ่นตามลำดับ มีค่าเท่ากับ 2.6180 2.6077 2.5508 และ 2.5340 ตามลำดับ และดังให้เห็นถึงความสอดคล้องกันระหว่างลักษณะของออกไซด์และปริมาณของออกไซด์ที่มากในช่วงแรกและเพิ่มขึ้นเรื่อยๆ จนถึงวันสุดท้าย เป็นสาเหตุที่ทำให้เกิดการเพิ่มขึ้นของน้ำหนักเหล็กซึ่งได้รับผลกระทบโดยตรงจากออกไซด์ที่เกิดขึ้นนั้นเอง

รูปที่ 9 แสดงค่าเบอร์เซ็นต์น้ำหนักที่เพิ่มขึ้นเฉลี่ยของอลูมิเนียมที่ระยะเวลา 1 เดือน โดยทำการทดสอบการกัดกร่อนต่อเกย์กับเหล็กกล้าคาร์บอนด้วยแหล่งน้ำทะลุฟองภูมิที่สีขาว เฉลี่ย ค่าเบอร์เซ็นต์น้ำหนักที่เพิ่มขึ้นเฉลี่ย มีค่าไม่คงที่ในวันที่ 6 และหลังจากนั้นเส้นกราฟมีแนวโน้มที่เพิ่มขึ้นเรื่อยๆ อย่างต่อเนื่องตั้งแต่ 3 แรก มีค่าสูงเกิดเนื่องจากที่แผ่นของอลูมิเนียมเกิดออกไซด์ที่มีลักษณะเป็นแผ่นฟิล์มสีขาวขุ่นปักคลุมอยู่ที่ผิวนอกของอลูมิเนียม และมีปริมาณที่เพิ่มมากขึ้นตามระยะเวลาทดสอบ ซึ่งสังเกตได้จากค่าเบอร์เซ็นต์น้ำหนักที่เพิ่มขึ้นเฉลี่ย มีค่าไม่คงที่ในวันที่ 6 และหลังจากนั้นเส้นกราฟมีแนวโน้มที่เพิ่มขึ้นเรื่อยๆ อย่างต่อเนื่องของทุกๆ แหล่งน้ำทะลุ โดยมีค่าเบอร์เซ็นต์น้ำหนักของอลูมิเนียมมากที่สุดในวันที่ 30 จากการทดสอบในแหล่งน้ำทะลุประมาณ 2.4098 รองลงมาคือ น้ำทะลุฟองภูมิที่สีขาวขุ่นเป็นด้วยลักษณะการกัดกร่อนที่มากและแหล่งน้ำทะลุฟองภูมิที่สีขาวตามลำดับ

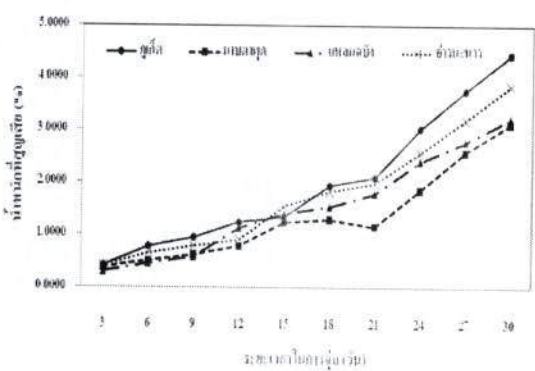
ผลที่ได้ดังแสดงว่าออกไซด์ที่เกิดขึ้นปักคลุมบนผิวของอลูมิเนียมและเหล็กกล้าคาร์บอนมีผลทำให้วัสดุทดสอบมีน้ำหนักที่เพิ่มขึ้นตั้งแต่วันแรกและมีวันสุดท้ายตามระยะเวลาทดสอบซึ่งมีความสอดคล้องกับผลการวิเคราะห์ลักษณะของออกไซด์ที่เกิดขึ้นบนผิวน้ำทึบต่างๆ ที่เกิดขึ้นเนื่องจากเกลือ ( $\text{NaCl}$ ) ที่เป็นส่วนผสมหลักในน้ำทะลุและสิ่งเจือปนที่เป็นผลิตภัณฑ์ด้วยจึงเป็นสาเหตุหนึ่งที่ทำให้รัฐวุฒิของชนิดมีน้ำหนักที่เพิ่มมากขึ้นตัวบ



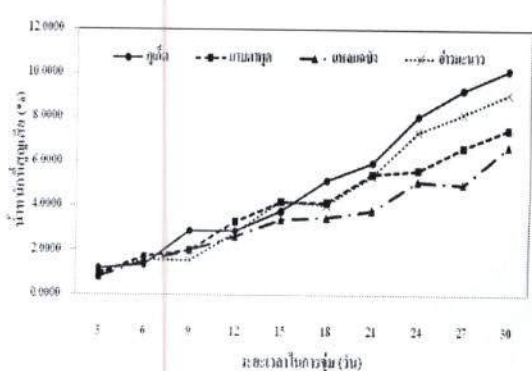
รูปที่ 8 ความสัมพันธ์ระหว่างระยะเวลาในการจุ่มและเบอร์เช็นต์น้ำหนักที่เพิ่มขึ้นของเหล็กกล้าคาร์บอน



รูปที่ 9 ความสัมพันธ์ระหว่างระยะเวลาในการจุ่มและเบอร์เช็นต์น้ำหนักที่เพิ่มขึ้นของอลูมิเนียม



รูปที่ 10 ความสัมพันธ์ระหว่างระยะเวลาในการจุ่มและเบอร์เช็นต์น้ำหนักที่สูญเสียของเหล็กกล้าคาร์บอน



รูปที่ 11 ความสัมพันธ์ระหว่างระยะเวลาในการจุ่มและเบอร์เช็นต์น้ำหนักที่สูญเสียของอลูมิเนียม

### 3.3 อิทธิพลของแหล่งน้ำที่มีผลต่อเบอร์เช็นต์น้ำหนักที่สูญเสียของชั้นงานทดสอบ

จากการวิเคราะห์ค่าเบอร์เช็นต์น้ำหนักที่เพิ่มขึ้นของเหล็ก และอลูมิเนียมพบว่ามีความสอดคล้องกับลักษณะการเกิดออกไซด์ที่ผิวของวัสดุทดสอบทั้งสองชนิดที่เก้ากรากทดสอบหาอัตราการกัดกร่อนในแหล่งน้ำที่ต่างๆ เป็นสาเหตุทำให้เกิดการหลอกลวงการกัดกร่อนภายในโลหะที่ถูกปกคลุมด้วยออกไซด์ของเหล็กและออกไซด์ของอลูมิเนียม ดังนั้นผู้วิจัยจึงได้ทำการก้าวต่อออกไซด์ออกเพื่อหาเบอร์เช็นต์น้ำหนักที่สูญเสียไปและอัตราการกัดกร่อนของวัสดุทดสอบทั้งสองชนิด อิฐมวลไทรีบาร์ฟอร์มที่ 10 และ 11 และลงแนวโน้มเบอร์เช็นต์น้ำหนักที่สูญเสียของเหล็กและอลูมิเนียมตามลำดับ พบว่าที่ระยะเวลาที่ 3 ถึงวันที่ 15 เหล็กและอลูมิเนียมมีค่าแนวโน้มน้ำหนักที่สูญเสียไปอยู่ต่ำกว่าทุกๆ แหล่งน้ำที่ทดสอบ และเมื่อวันที่ 18 และวันที่ 21 จากนั้นมีค่าแนวโน้มที่สูงขึ้นอย่างต่อเนื่องและส่วนมากจะเริ่มต้นที่ 30 ซึ่งมีค่าเบอร์เช็นต์น้ำหนักที่สูญเสียของเหล็กและอลูมิเนียมจาก การทดสอบที่ระยะเวลา 30 วัน คือ 4.4395 และ 10.146 ตามลำดับ จากการทดสอบที่น้ำที่แหล่งน้ำที่สูญเสียเพิ่มมากขึ้น แต่เมื่อวันที่ 30 ซึ่งมีค่าเบอร์เช็นต์น้ำหนักที่สูญเสียของเหล็กและอลูมิเนียมมากกว่า 4.4395 และ 10.146 ตามลำดับ

วัสดุทดสอบทั้งบริเวณที่ถูกปกคลุมด้วยออกไซด์และแผ่นฟิล์มหลังทำการกำจัดออกไซด์

### 4. สรุป

การดำเนินการทดสอบการกัดกร่อนของรอยต่อเกี่ยวกับระยะเวลาในการทดสอบที่ต่างๆ ของประเทศไทย พบว่าชั้นงานหลังที่ทำการทดสอบเกิดออกไซด์ที่ผิวเป็นปริมาณมากตามระดับการจุ่ม เช่น แหล่งที่ 1 ที่มีค่าแนวโน้มของเบอร์เช็นต์น้ำหนักที่สูญเสียของเหล็กและอลูมิเนียมที่สูงกว่า 4.4395 และ 10.146 ตามลำดับ

1. น้ำที่แหล่งน้ำที่มีค่าแนวโน้มของเบอร์เช็นต์น้ำหนักที่เพิ่มขึ้นของเหล็กมากที่สุด เท่ากับ 2.6180
2. น้ำที่แหล่งน้ำที่มีค่าแนวโน้มของเบอร์เช็นต์น้ำหนักที่เพิ่มขึ้นของอลูมิเนียมมากที่สุด เท่ากับ 2.4098
3. น้ำที่แหล่งน้ำที่มีค่าแนวโน้มของเบอร์เช็นต์น้ำหนักที่สูญเสียของเหล็กมากที่สุด เท่ากับ 4.4395
4. น้ำที่แหล่งน้ำที่มีค่าแนวโน้มของเบอร์เช็นต์น้ำหนักที่สูญเสียของอลูมิเนียมมากที่สุด เท่ากับ 10.146



### กิตติกรรมประกาศ

งานวิจัยนี้ได้รับการสนับสนุนจากมหาวิทยาลัยเทคโนโลยีราชมงคลชั้นนำ ในด้านการใช้สกัดน้ำ อุ่นกรอง และเครื่องมือที่เกี่ยวข้องกับการทดลอง

### เอกสารอ้างอิง

- [1] T.A. Branes and I.R. Pashby, 2000. Joining Techniques For Aluminum Spacetrusses used in Automobiles Part I-Solid and Liquid Phase Welding. *J. of Materials Processing Technology* 99 pp. 62-71.
- [2] D. Brandon and W.D. Kaplan, 1997. Joining Processes, An Introduction. John Wiley&Sons, New York. 364p.
- [3] Z. Sun and R. Karppi, 1996. The Application of Electron Beam Welding for the Joining of Dissimilar Metals: An Overview. *J. of Materials Processing Technology* 59. pp. 257-267.
- [4] B. Chico, D. Fuente, E. Almeida, M. Morcillo, J.A. Gonzalez and E. Otero "Lap-joint corrosion of precoated materials for building applications" *Surface and Technology* 190 (2005) 65-74.
- [5] Standard Practice for Preparing Cleaning and Evaluation Corrosion Test Specimens. Standard Method G1-88. Annual Book of ASTM Standards
- [6] Standard Practice for Laboratory Immersion Corrosion Testing of Metals. Standard Method G31-72. Annual Book of ASTM Standards